

编号: 0099

内 部

# 科学技术成果报告

球墨铸铁中几种元素对临  
界温度的影响

科学技术文献出版社

**科学技术成果报告**

球墨铸铁中几种元素对临界温度的影响

(内部发行)

编辑者：中国科学技术情报研究所

出版者：科学技术文献出版社

印刷者：中国科学技术情报研究所印刷厂

新华书店北京发行所发行 各地新华书店经销

开本 $787 \times 1092 \cdot \frac{1}{16}$  1 印张 25千字

统一书号：15176·273 定价：0.15元

1978年5月出版

144(0099)

# 目 录

31-5/04

|                   |        |
|-------------------|--------|
| 一、前言.....         | ( 1 )  |
| 二、试样的尺寸和实验设备..... | ( 1 )  |
| 三、试验方法.....       | ( 1 )  |
| 四、试验结果.....       | ( 2 )  |
| 1. 硅.....         | ( 2 )  |
| 2. 锰.....         | ( 7 )  |
| 3. 磷.....         | ( 9 )  |
| 4. 钼.....         | ( 12 ) |
| 5. 铜.....         | ( 13 ) |
| 五、结论.....         | ( 15 ) |
| 参考资料.....         | ( 16 ) |

# 球墨铸铁中几种元素对 临界温度的影响

无锡柴油机厂、无锡球墨铸铁研究室

## 一、前 言

球墨铸铁经过热处理，可以在较宽的范围内调整基体中的碳份和它的组成相，从而改变它的机械性能和硬度<sup>〔1〕〔2〕〔3〕〔4〕〔5〕</sup>。为了认识这一转变规律，知道球墨铸铁的临界温度是很重要的<sup>〔6〕</sup>。

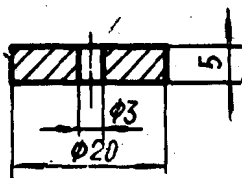
根据参考资料<sup>〔3〕〔4〕</sup>介绍，球墨铸铁的临界温度是一个相当宽的温度范围，而这个温度范围与它的化学成份有密切的关系。因此研究球墨铸铁的化学成份对临界温度范围的影响，不仅具有理论意义，而且还具有现实意义。下面我们用  $A_{s1}$  表示球墨铸铁在加热时开始出现奥氏体的温度， $A_{s2}$  表示在加热时，铁素体完全转变为奥氏体的温度，而  $A_{f1}$  表示在冷却过程中，开始析出铁素体的温度， $A_{f2}$  表示在冷却时，奥氏体最终消失的温度。

本文研究用金相法测定球墨铸铁中硅、锰、磷、钼、铜对临界温度范围的影响。

## 二、试样的尺寸和实验设备

### 1. 试样尺寸

各种成份的球墨铸铁试样均取自梅花和楔型二种形式，然后车制成图1中所示的形状和尺寸。



### 2. 实验设备

试样加热采用管式电炉，这种炉子便于试样在加热完后能够较快地淬入水中。温度用镍铬热电偶和自动温度控制器控制在  $\pm 10^\circ\text{C}$  以内。

## 三、试 验 方 法

根据参考资料<sup>〔4〕</sup>介绍，临界温度最精确的测定方法是测量从共析转变范围内，不同温度淬火试样中铁素体和马氏体（奥氏体的转变产物）的相对量。在本研究报告中也是采用这种方法。在估计的临界温度范围内，选择若干个温度，并在这些温度下进行加热，保温30分钟<sup>〔7〕</sup>，然后立即淬入水

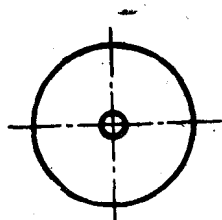


图1 试样尺寸

中，用金相法测量铁素体和马氏体量。

## 四、试验结果

### 1. 硅

在测定硅对球墨铸铁临界温度影响时，我们采用了四种不同硅量的球墨铸铁试样，其化学成分见表1。

表 1

| 试样编号 | 化 学 成 份 (%) |      |      |       |       |       |                               |
|------|-------------|------|------|-------|-------|-------|-------------------------------|
|      | C           | Si   | Mn   | P     | S     | Mg    | R <sub>x</sub> O <sub>y</sub> |
| 1    | 3.46        | 3.37 | 0.62 | 0.069 | 0.009 | 0.056 | 0.045                         |
| 2    | 3.53        | 2.92 | 0.80 | 0.072 | 0.013 | 0.040 | 0.029                         |
| 3    | 3.53        | 2.05 | 0.75 | 0.059 | 0.023 | 0.047 | 0.034                         |
| 4    | 3.58        | 1.80 | 0.44 | 0.071 | 0.018 | 0.035 | 0.047                         |

测定是在740~910℃的范围内进行，除745℃外，每相隔10℃选择一个温度。在各个选择的温度下，对四种不同硅量的球墨铸铁试样进行了测定，其结果见表2。

表 2

| 温 度  | 试样编号 | 基 体 组 织            | 硬度(RB)      |
|------|------|--------------------|-------------|
| 740℃ | 1    | 5~10%珠光体+铁素体       | 91<br>94    |
|      | 2    | 10~15%珠光体+铁素体      |             |
|      | 3    | 30~40%珠光体+铁素体      |             |
|      | 4    | 铁素体+少量球状珠光体        |             |
| 745℃ | 1    | //<br>//<br>//     |             |
|      | 2    |                    |             |
|      | 3    |                    |             |
|      | 4    |                    |             |
| 750℃ | 1    | 5~10%珠光体+铁素体       | 90.5<br>101 |
|      | 2    | 10~20%珠光体+铁素体      |             |
|      | 3    | 铁素体+球状珠光体+5~10%马氏体 |             |
|      | 4    | 铁素体+20~30%马氏体      |             |
| 760℃ | 1    | 5%珠光体+铁素体          | 92<br>108.5 |
|      | 2    | 10~20%珠光体+铁素体      |             |
|      | 3    | 铁素体+30~40%马氏体      |             |
|      | 4    | 铁素体+40~50%马氏体      |             |

续表 2

| 温 度   | 试样编号 | 基 体 组 织                 | 硬度(RB)         |
|-------|------|-------------------------|----------------|
| 770°C | 1    | 铁素体 + 少量球状珠光体           | 98.5<br>110.5  |
|       | 2    | 铁素体 + 10~20%珠光体 + 少量马氏体 |                |
|       | 3    | 60~65%马氏体 + 铁素体         |                |
|       | 4    | 马氏体 + 35~40%铁素体         |                |
| 780°C | 1    | 铁素体                     | 101.5<br>116.5 |
|       | 2    | 铁素体 + 10~20%马氏体         |                |
|       | 3    | 马氏体 + 20~30%铁素体         |                |
|       | 4    | 马氏体 + 60~70%铁素体         |                |
| 790°C | 1    | 铁素体 + 少量马氏体             | 111.0<br>119.0 |
|       | 2    | 马氏体 + 20~30%铁素体         |                |
|       | 3    | 马氏体 + 10~20%铁素体         |                |
|       | 4    | 马氏体 + 10%铁素体            |                |
| 800°C | 1    | 铁素体 + 20~30%马氏体         | 115.5<br>119.5 |
|       | 2    | 马氏体 + 10%铁素体            |                |
|       | 3    | 马氏体 + 5~10%铁素体          |                |
|       | 4    | 马氏体 + 少量铁素体             |                |
| 810°C | 1    | 铁素体 + 25~30%马氏体         | 117.5<br>120.5 |
|       | 2    | 马氏体 + 5~10%铁素体          |                |
|       | 3    | 马氏体 + 少量铁素体             |                |
|       | 4    | 马氏体 + 残余奥氏体             |                |
| 820°C | 1    | 铁素体 + 30%马氏体            | 116.5<br>120.5 |
|       | 2    | 马氏体 + 5~10%铁素体          |                |
|       | 3    | 马氏体 + 残余奥氏体             |                |
|       | 4    | 马氏体 + 残余奥氏体             |                |
| 830°C | 1    | 铁素体 + 30~40%马氏体         | 118.5<br>120.5 |
|       | 2    | 马氏体 + 5~10%铁素体          |                |
|       | 3    | 马氏体 + 残余奥氏体             |                |
|       | 4    | ／                       |                |
| 840°C | 1    | 铁素体 + 40%马氏体            | 117.5          |
|       | 2    | 马氏体 + 少量铁素体             |                |
|       | 3    | ／                       |                |
|       | 4    | ／                       |                |

续表 2

| 温 度   | 试样编号 | 基 体 组 织       | 硬度(RB) |
|-------|------|---------------|--------|
| 850°C | 1    | 马氏体+40~50%铁素体 | 118.5  |
|       | 2    | 马氏体+少量铁素体     |        |
|       | 3    | ////          |        |
|       | 4    | ////          |        |
| 860°C | 1    | 马氏体+20~30%铁素体 | 120    |
|       | 2    | 马氏体+残余奥氏体     |        |
|       | 3    | ////          |        |
|       | 4    | ////          |        |
| 870°C | 1    | 马氏体+10~20%铁素体 |        |
|       | 2    | 马氏体+残余奥氏体     |        |
|       | 3    | ////          |        |
|       | 4    | ////          |        |
| 880°C | 1    | 马氏体+5%铁素体     |        |
|       | 2    | ////          |        |
|       | 3    | ////          |        |
|       | 4    | ////          |        |
| 890°C | 1    | 马氏体+少量铁素体     |        |
|       | 2    | ////          |        |
|       | 3    | ////          |        |
|       | 4    | ////          |        |
| 900°C | 1    | 马氏体+残余奥氏体     |        |
|       | 2    | ////          |        |
|       | 3    | ////          |        |
|       | 4    | ////          |        |
| 910°C | 1    | 马氏体+残余奥氏体     |        |
|       | 2    | ////          |        |
|       | 3    | ////          |        |
|       | 4    | ////          |        |

由表 2 知, 用金相法或用硬度法来确定球墨铸铁的临界温度, 其值基本上是一致的, 不过用金相法更为精确一些。

我们也测定了在冷却过程中, 硅对临界温度的影响。采用920°C完全奥氏体化, 保温 30 分钟, 然后随炉冷却至不同温度, 并立即淬入水中, 其试验结果见表 3。

表 3

| 温 度  | 试样编号 | 基 体 组 织       | 硬度(RB) |
|------|------|---------------|--------|
| 830℃ | 1    | 马氏体+残余奥氏体     |        |
|      | 2    | 马氏体+残余奥氏体     |        |
|      | 3    | —             |        |
| 820℃ | 1    | 马氏体+残余奥氏体     |        |
|      | 2    | 马氏体+残余奥氏体     |        |
|      | 3    | —             |        |
| 810℃ | 1    | 马氏体+少量铁素体     |        |
|      | 2    | 马氏体+残余奥氏体     |        |
|      | 3    | —             |        |
| 800℃ | 1    | 马氏体+5%铁素体     |        |
|      | 2    | 马氏体+残余奥氏体     |        |
|      | 3    | 马氏体+残余奥氏体     |        |
| 790℃ | 1    | 马氏体+10%铁素体    |        |
|      | 2    | 马氏体+残余奥氏体     |        |
|      | 3    | 马氏体+残余奥氏体     |        |
| 780℃ | 1    | 马氏体+20~30%铁素体 |        |
|      | 2    | 马氏体+少量铁素体     |        |
|      | 3    | 马氏体+残余奥氏体     |        |
| 770℃ | 1    | 马氏体+40~50%铁素体 |        |
|      | 2    | 马氏体+70~80%铁素体 |        |
|      | 3    | 马氏体+残余奥氏体     |        |
| 760℃ | 1    | 50~60%铁素体+马氏体 |        |
|      | 2    | 70~80%铁素体+马氏体 |        |
|      | 3    | 马氏体+少量铁素体     |        |
| 750℃ | 1    | 70~80%铁素体+马氏体 |        |
|      | 2    | 70~80%铁素体+马氏体 |        |
|      | 3    | 马氏体+10%铁素体    |        |
| 740℃ | 1    | 80~90%铁素体+马氏体 |        |
|      | 2    | 80~90%铁素体+马氏体 |        |
|      | 3    | 马氏体+40~50%铁素体 |        |

续表 3

| 温度    | 试样编号 | 基体组织          | 硬度(RB) |
|-------|------|---------------|--------|
| 730°C | 1    | 铁素体+珠光体       |        |
|       | 2    | 铁素体+10~15%马氏体 |        |
|       | 3    | 70~80%铁素体+马氏体 |        |
| 725°C | 1    | 铁素体+珠光体       |        |
|       | 2    | 铁素体+5~10%珠光体  |        |
|       | 3    | —             |        |
| 720°C | 1    | 铁素体+珠光体       |        |
|       | 2    | 铁素体+珠光体       |        |
|       | 3    | 铁素体+20~30%珠光体 |        |
| 710°C | 1    | 铁素体+珠光体       |        |
|       | 2    | 铁素体+珠光体       |        |
|       | 3    | 铁素体+30~40%珠光体 |        |

加热和冷却过程中所测得转变温度的数据列于图2。由图2可知,硅提高了临界温度。硅对 $A_{c1}$ 的影响比对 $A_{c2}$ 大,因此随着硅含量的增加,临界温度范围也随着变宽。但必须指出,由于硅在凝固时,可能发生偏析,因此必须考虑到当球墨铸铁具有相同硅量时, $A_{c1}$ 和 $A_{c2}$ 会有一定的偏差,其大小与硅的偏析程度有关。在冷却时,我们测得的临界温度范围要

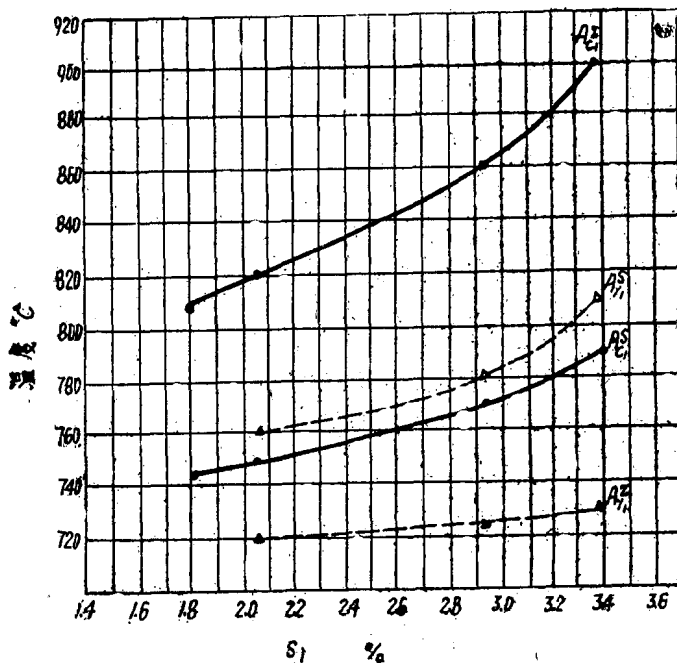


图2 硅对临界温度范围的影响

比加热时小得多。我们认为这是由于炉冷还不够缓慢的缘故，使组织转变滞后于温度的变化。冷却速度越快，这种滞后现象就愈大。

## 2. 锰

在测定锰对球墨铸铁临界温度影响时，我们采用了四种不同锰量的球墨铸铁试样，其化学成份见表4。

表 4

| 试样编号 | 化 学 成 份 (%) |      |      |       |       |       |                               |
|------|-------------|------|------|-------|-------|-------|-------------------------------|
|      | C           | Si   | Mn   | P     | S     | Mg    | R <sub>x</sub> O <sub>y</sub> |
| 1    | 3.53        | 2.10 | 0.75 | 0.059 | 0.023 | 0.047 | 0.034                         |
| 2    | 3.53        | 2.18 | 0.96 | 0.073 | 0.018 | 0.062 | 0.063                         |
| 3    | 3.53        | 2.18 | 1.10 | 0.073 | 0.025 | 0.053 | 0.040                         |
| 4    | 3.53        | 2.18 | 1.42 | 0.073 | 0.025 | 0.043 | 0.040                         |

测定是在720~820°C的范围内进行，除725°C外，每相隔10°C选择一个温度，在各个选择的温度下，对四种不同锰量的球墨铸铁试样进行了测定，其结果见表5。

表 5

| 温 度   | 试样编号 | 基 体 组 织            | 硬 度 |
|-------|------|--------------------|-----|
| 720°C | 1    | —                  |     |
|       | 2    | 球状及片状珠光体           |     |
|       | 3    | 球状及片状珠光体           |     |
|       | 4    | 球状及片状珠光体           |     |
| 725°C | 1    | —                  |     |
|       | 2    | 球状及片状珠光体           |     |
|       | 3    | 球状及片状珠光体           |     |
|       | 4    | 球状珠光体 + 10~20% 马氏体 |     |
| 730°C | 1    | 铁素体 + 30~40% 珠光体   |     |
|       | 2    | 球状及片状珠光体           |     |
|       | 3    | 珠光体 + 10~20% 马氏体   |     |
|       | 4    | 珠光体 + 20~30% 马氏体   |     |
| 740°C | 1    | 铁素体 + 30~40% 珠光体   |     |
|       | 2    | 珠光体 + 10~20% 马氏体   |     |
|       | 3    | 马氏体 + 40~50% 珠光体   |     |
|       | 4    | 马氏体 + 30~20% 珠光体   |     |

续表 5

| 温 度   | 试样编号 | 基 体 组 织                | 硬 度 |
|-------|------|------------------------|-----|
| 750°C | 1    | 珠光体 + 铁素体 + 10~20% 马氏体 |     |
|       | 2    | 马氏体 + 20~30% 铁素体       |     |
|       | 3    | 马氏体 + 10~20% 铁素体       |     |
|       | 4    | 马氏体 + 少量铁素体            |     |
| 760°C | 1    | 铁素体 + 30~40% 马氏体       |     |
|       | 2    | 马氏体 + 少量铁素体            |     |
|       | 3    | 马氏体 + 少量铁素体            |     |
|       | 4    | 马氏体 + 残余奥氏体            |     |
| 770°C | 1    | 马氏体 + 35~40% 铁素体       |     |
|       | 2    | 马氏体 + 少量铁素体            |     |
|       | 3    | 马氏体 + 残余奥氏体            |     |
|       | 4    | 马氏体 + 残余奥氏体            |     |
| 780°C | 1    | 马氏体 + 20~30% 铁素体       |     |
|       | 2    | 马氏体 + 残余奥氏体            |     |
|       | 3    | 马氏体 + 残余奥氏体            |     |
|       | 4    | 马氏体 + 残余奥氏体            |     |
| 790°C | 1    | 马氏体 + 10~20% 铁素体       |     |
|       | 2    | 马氏体 + 残余奥氏体            |     |
|       | 3    | 马氏体 + 残余奥氏体            |     |
|       | 4    | 马氏体 + 残余奥氏体            |     |
| 800°C | 1    | 马氏体 + 5~10% 铁素体        |     |
|       | 2    | ///                    |     |
|       | 3    | ///                    |     |
|       | 4    | ///                    |     |
| 810°C | 1    | 马氏体 + 少量铁素体            |     |
|       | 2    | ///                    |     |
|       | 3    | ///                    |     |
|       | 4    | ///                    |     |
| 820°C | 1    | 马氏体 + 残余奥氏体            |     |
|       | 2    | ///                    |     |
|       | 3    | ///                    |     |
|       | 4    | ///                    |     |

将表中所测得的转变温度的数值列于图3，该图为对含硅量大致相同，而锰量逐渐增加的球墨铸铁试样进行测定的结果。由图3可知，锰引起临界温度的降低。锰降低 $A_{C1}^2$ 的幅度比 $A_{C1}^1$ 为大，尤其在锰含量低于1%时，此现象更为显著，因此随着锰含量的增加而临界温度范围变窄。

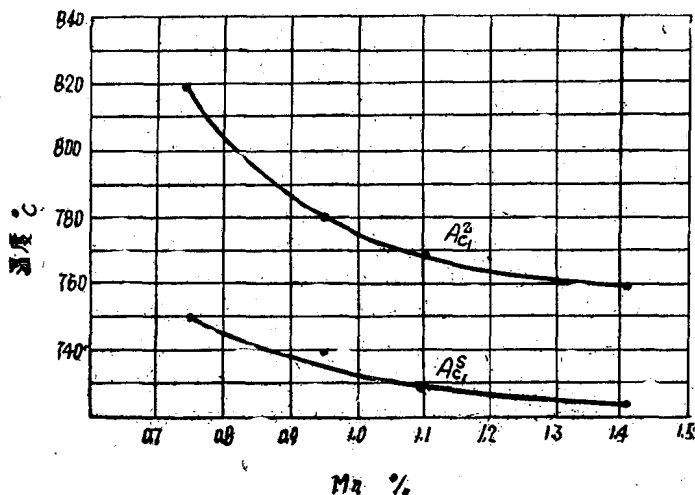


图3 锰对临界温度范围的影响

### 3. 磷

在测定磷对球墨铸铁临界温度影响时，我们采用同一包铁水，浇注了不同含磷量的试样，其化学成份见表6。

表 6

| 试样编号 | 化 学 成 份 (%) |      |      |       |       |       |          |
|------|-------------|------|------|-------|-------|-------|----------|
|      | C           | Si   | Mn   | P     | S     | Mg    | $R_xO_y$ |
| 1    | 未分析         | 2.66 | 0.61 | 0.059 | 0.018 | 0.044 | 0.047    |
| 2    |             | 2.66 | 0.61 | 0.096 | 0.018 | 0.044 | 0.047    |
| 3    |             | 2.66 | 0.61 | 0.14  | 0.018 | 0.044 | 0.047    |
| 4    |             | 2.66 | 0.61 | 0.19  | 0.018 | 0.044 | 0.047    |
| 5    |             | 2.66 | 0.61 | 0.26  | 0.018 | 0.044 | 0.047    |
| 6    |             | 2.66 | 0.61 | 0.32  | 0.018 | 0.044 | 0.047    |

测定是在740~860°C的温度范围内进行，选择了九个温度。在各个选定的温度下，对不同含磷量的球墨铸铁试样进行了测定。其显微组织及硬度值见表7。

表 7

| 温 度   | 试样编号 | 基 体 组 织*            | 硬度(RC)<br>平 均 |
|-------|------|---------------------|---------------|
| 740°C | 1    | 铁素体 + 20~30%珠光体     | 9.1           |
|       | 2    | 铁素体 + 20%珠光体        | 11.1          |
|       | 3    | 铁素体 + 30~35%珠光体     | 13.1          |
|       | 4    | 铁素体 + 20~30%珠光体     | 13.8          |
|       | 5    | 铁素体 + 30%珠光体        | 15.7          |
|       | 6    | 铁素体 + 30%珠光体        | 16.0          |
| 760°C | 1    | 铁素体 + 珠光体 + 少量马氏体   | 9             |
|       | 2    | 铁素体 + 珠光体 + 少量马氏体   | 10            |
|       | 3    | 铁素体 + 少量珠光体 + 少量马氏体 | 10.5          |
|       | 4    | 铁素体 + 少量珠光体 + 少量马氏体 | 13            |
|       | 5    | 铁素体 + 少量珠光体 + 少量马氏体 | 13.5          |
|       | 6    | 铁素体 + 少量马氏体         | 14.5          |
| 780°C | 1    | 铁素体 + 10~15%马氏体     | 20.7          |
|       | 2    | 铁素体 + 10~20%马氏体     | 19.1          |
|       | 3    | 铁素体 + 20%马氏体        | 18.1          |
|       | 4    | 铁素体 + 20~30%马氏体     | 22.5          |
|       | 5    | 铁素体 + 30%马氏体        | 28            |
|       | 6    | 铁素体 + 30~35%马氏体     | 22            |
| 800°C | 1    | 铁素体 + 40%马氏体        | 34.4          |
|       | 2    | 50%马氏体 + 铁素体        | 38.8          |
|       | 3    | 马氏体 + 45~50%铁素体     | 40.7          |
|       | 4    | 马氏体 + 20%铁素体        | 51.0          |
|       | 5    | 马氏体 + 15~20%铁素体     | 45.0          |
|       | 6    | 马氏体 + 20%铁素体        | 40.7          |
| 820°C | 1    | 马氏体 + 5~10%铁素体      | 54.8          |
|       | 2    | 马氏体 + 5%铁素体         | 50.7          |
|       | 3    | 马氏体 + 2~3%铁素体       | 56            |
|       | 4    | 马氏体 + 1~2%铁素体       | 53.3          |
|       | 5    | 马氏体 + 残余奥氏体         | 51.7          |
|       | 6    | 马氏体 + 残余奥氏体         | 52.2          |
| 830°C | 1    | 马氏体 + 10%铁素体        | 49            |
|       | 2    | 马氏体 + 少量铁素体         | 52            |
|       | 3    | 马氏体 + 残余奥氏体         | 55            |
|       | 4    | 马氏体 + 残余奥氏体         | 53.5          |

续表 7

| 温 度   | 试样编号 | 基 体 组 织   | 硬度(RC)<br>平 均 |
|-------|------|-----------|---------------|
| 830°C | 5    | 马氏体+残余奥氏体 | 48.6          |
|       | 6    | 马氏体+残余奥氏体 | 56.5          |
| 840°C | 1    | 马氏体+1%铁素体 | 52.2          |
|       | 2    | 马氏体+残余奥氏体 | 51.3          |
|       | 3    | 马氏体+残余奥氏体 | 52.8          |
|       | 4    | 马氏体+残余奥氏体 | 51.3          |
|       | 5    | 马氏体+残余奥氏体 | 54            |
|       | 6    | 马氏体+残余奥氏体 | 55.5          |
| 850°C | 1    | 马氏体+残余奥氏体 | 60.2          |
|       | 2    | 马氏体+残余奥氏体 | 59.3          |
|       | 3    | 马氏体+残余奥氏体 | 60            |
|       | 4    | 马氏体+残余奥氏体 | 57.3          |
|       | 5    | 马氏体+残余奥氏体 | 58            |
|       | 6    | 马氏体+残余奥氏体 | 57.2          |
| 860°C | 1    | 马氏体+残余奥氏体 | 60            |
|       | 2    | 马氏体+残余奥氏体 | 60.5          |
|       | 3    | 马氏体+残余奥氏体 | 60            |
|       | 4    | 马氏体+残余奥氏体 | 60            |
|       | 5    | 马氏体+残余奥氏体 | 60.3          |
|       | 6    | 马氏体+残余奥氏体 | 61            |

\* 基体组织中磷共晶数量未包括在内。

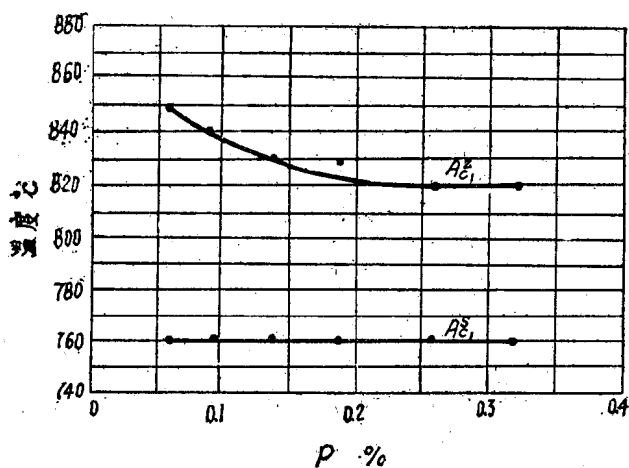


图 4 磷对临界温度的影响

将表7中所测得的转变温度的数值列于图4。该图为对一批磷量逐渐增加的球墨铸铁试样进行测定的结果。

由图4可知，磷对 $A_{c1}^s$ 没有影响，而对 $A_{c1}^z$ 有较大影响，特别是含磷量在低于0.2%时更为突出，它是随着磷含量的增加而有较大幅度的降低，因此使临界温度范围变窄；但在含磷量超过0.2%时， $A_{c1}^z$ 就没有变化了，使临界温度范围保持不变。

#### 4. 钼

钼和铜是球墨铸铁中最常用的合金化元素。因此它们对临界温度的影响，也分别进行了测定。在测定钼对临界温度影响时，我们采用四种不同含钼量的球墨铸铁试样，其化学成份见表8。

表 8

| 试样编号 | 化 学 成 份 (%) |      |      |       |       |      |       |                               |
|------|-------------|------|------|-------|-------|------|-------|-------------------------------|
|      | C           | Si   | Mn   | P     | S     | Mo   | Mg    | R <sub>x</sub> O <sub>y</sub> |
| 1    | 3.73        | 1.78 | 0.28 | 0.079 | 0.022 | 0.16 | 0.041 | 0.022                         |
| 2    | 3.57        | 1.64 | 0.44 | 0.076 | 0.020 | 0.45 | 0.035 | 0.047                         |
| 3    | 3.54        | 1.94 | 0.48 | 0.075 | 0.022 | 0.68 | 0.035 | 0.047                         |
| 4    | 3.51        | 1.80 | 0.47 | 0.077 | 0.021 | 0.92 | 0.035 | 0.047                         |

测定是在740~810℃的温度范围内进行，选择了十个温度，在各个选择温度下，对不同含钼量的球墨铸铁试样进行了测定，其显微组织见表9。

表 9

| 温 度  | 试样编号 | 基 体 组 织       | 硬 度 |
|------|------|---------------|-----|
| 740℃ | 1    | 珠光体+铁素铁       |     |
|      | 2    | 珠光体+铁素体       |     |
|      | 3    | 珠光体+铁素体       |     |
|      | 4    | 珠光体+铁素体       |     |
| 745℃ | 1    | 珠光体+铁素体+少量马氏体 |     |
|      | 2    | 珠光体+铁素体+少量马氏体 |     |
|      | 3    | 珠光体+铁素体+少量马氏体 |     |
|      | 4    | 珠光体+铁素体+少量马氏体 |     |
| 750℃ | 1    | 未测            |     |
|      | 2    | 铁素体+30~40%马氏体 |     |
|      | 3    | 铁素体+25~30%马氏体 |     |
|      | 4    | 铁素体+35~40%马氏体 |     |

续表 9

| 温 度   | 试样编号 | 基 体 组 织          | 硬 度 |
|-------|------|------------------|-----|
| 760°C | 1    | 铁素体 + 30~40% 马氏体 |     |
|       | 2    | 铁素体 + 40~50% 马氏体 |     |
|       | 3    | 铁素体 + 30~40% 马氏体 |     |
|       | 4    | 马氏体 + 40~50% 铁素体 |     |
| 770°C | 1    | 未测               |     |
|       | 2    | 马氏体 + 35~40% 铁素体 |     |
|       | 3    | 铁素体 + 40~50% 马氏体 |     |
|       | 4    | 铁素体 + 30~40% 马氏体 |     |
| 780°C | 1    | 马氏体 + 10~20% 铁素体 |     |
|       | 2    | 马氏体 + 10% 铁素体    |     |
|       | 3    | 马氏体 + 15~20% 铁素体 |     |
|       | 4    | 马氏体 + 10% 铁素体    |     |
| 790°C | 1    | 马氏体 + 少量铁素体      |     |
|       | 2    | 马氏体 + 残余奥氏体      |     |
|       | 3    | 马氏体 + 残余奥氏体      |     |
|       | 4    | 马氏体 + 残余奥氏体      |     |
| 800°C | 1    | 马氏体 + 残余奥氏体      |     |
|       | 2    | 马氏体 + 残余奥氏体      |     |
|       | 3    | 马氏体 + 残余奥氏体      |     |
|       | 4    | 马氏体 + 残余奥氏体      |     |
| 810°C | 1    | 马氏体 + 残余奥氏体      |     |
|       | 2    | 马氏体 + 残余奥氏体      |     |
|       | 3    | 马氏体 + 残余奥氏体      |     |
|       | 4    | 马氏体 + 残余奥氏体      |     |

将表 9 中所测得的转变温度的数值列于图 5。该图为对含硅量和含锰量大致相同的情况下，而含钼量逐渐增加的球墨铸铁试样，进行测定的结果。由图 5 可知，钼对  $A_{c1}$  没有影响，而对  $A_{c2}$  则随着钼含量的增加略有降低；当含钼量超过 0.4% 以后， $A_{c2}$  却保持不变。因此，钼对球墨铸铁临界温度范围的影响较小。

### 5. 铜

在测定铜对球墨铸铁临界温度影响时，我们采用了一批有一定含钼量的球墨铸铁试样，来研究它的影响。其化学成份见表 10。

测定是在 730~800°C 的温度范围内进行，选择了六个温度。在各个选定的温度下，经试验后，其显微组织的变化见表 11。

表 10

| 试样<br>编号 | 化 学 成 份 (%) |      |      |       |       |      |      |       |                               |
|----------|-------------|------|------|-------|-------|------|------|-------|-------------------------------|
|          | C           | Si   | Mn   | P     | S     | Mo   | Cu   | Mg    | R <sub>x</sub> O <sub>y</sub> |
| 1        | 3.73        | 1.78 | 0.28 | 0.079 | 0.022 | 0.16 | 0    | 0.041 | 0.022                         |
| 2        | 3.73        | 1.86 | 0.25 | 0.079 | 0.020 | 0.16 | 0.38 | 0.055 | 0.025                         |
| 3        | 3.73        | 1.97 | 0.25 | 0.09  | 0.020 | 0.16 | 0.58 | 0.060 | 0.033                         |

表 11

| 温 度   | 试样编号 | 基 体 组 织               | 硬 度 |
|-------|------|-----------------------|-----|
| 730°C | 1    | 珠光体 + 30%铁素体          |     |
|       | 2    | 珠光体 + 5%铁素体           |     |
|       | 3    | 珠光体 + 5%铁素体           |     |
| 740°C | 1    | 珠光体 + 铁素体             |     |
|       | 2    | 珠光体 + 铁素体             |     |
|       | 3    | 珠光体 + 铁素体             |     |
| 745°C | 1    | 铁素体 + 珠光体 + 10~20%马氏体 |     |
|       | 2    | 铁素体 + 珠光体 + 10~20%马氏体 |     |
|       | 3    | 铁素体 + 珠光体 + 10~20%马氏体 |     |
| 770°C | 1    | 40~50%马氏体 + 铁素体 + 珠光体 |     |
|       | 2    | 马氏体 + 10~20%铁素体       |     |
|       | 3    | 马氏体 + 10~20%铁素体       |     |
| 780°C | 1    | 90%马氏体 + 铁素体 + 渗碳体    |     |
|       | 2    | 马氏体 + 少量铁素体 + 渗碳体     |     |
|       | 3    | 马氏体 + 残余奥氏体 + 渗碳体     |     |
| 790°C | 1    | 马氏体 + 5~10%铁素体        |     |
|       | 2    | 马氏体 + 残余奥氏体 + 渗碳体     |     |
|       | 3    | 马氏体 + 残余奥氏体 + 渗碳体     |     |
| 800°C | 1    | 马氏体 + 残余奥氏体 + 渗碳体     |     |
|       | 2    | 马氏体 + 残余奥氏体 + 渗碳体     |     |
|       | 3    | 马氏体 + 残余奥氏体 + 渗碳体     |     |

将表11中所测得的转变温度的数值列于图6。该图是在硅和锰大致相同,并且含有0.16%钼的条件下,对不同含铜量的球墨铸铁试样进行测定的结果。若将0.16%钼的影响消除后,得到的 $A_{C1}$ 曲线,以虚线表示在图上。由图可知,铜对 $A_{C1}$ 的温度没有影响,而对 $A_{C1}$ 有一